

УДК 539.375

© 1996 г. Е. И. ШЕМЯКИН

### ЗАДАЧА О «ХРУПКОМ ШАРНИРЕ»

Представление о хрупком разрушении твердых тел обычно связывается с переходом из упругого состояния в некоторое другое после достижения критических (предельных) значений напряжениями или деформациями (или энергии упругого деформирования). При этом рассматриваются решения упругих задач, в которых ни сами критерии разрушения (предельные или критические значения инвариантов), ни модели поведения твердой среды при разрушении не рассматриваются. В публикуемой работе вводится модель разрушения среды, которая вела себя упруго до достижения критических (предельных) значений инвариантов напряженного и деформированного состояний. В качестве основной задачи избраны квазистатическая задача о трещине в упругой среде в условиях антиплоской деформации — случай, в котором удастся избежать математических приближений и построить решение задачи, свободное от дополнительных предположений. Автор взял на себя ответственность назвать исследование области перехода из упругого состояния в состояние разрушения (разделение тела на части) задачей о «хрупком шарнире».

1. В условиях антиплоской деформации в известных обозначениях отличными от нуля являются компоненты деформации [1, 2]:  $\varepsilon_{xz} = \partial W / \partial x$ ,  $\varepsilon_{yz} = \partial W / \partial y$  ( $W(x, y)$  — перемещение вдоль оси  $OZ$ ) и компоненты тензора напряжений, которые связаны в упругом состоянии законом Гука

$$\tau_{xz} = \mu \varepsilon_{xz}, \quad \tau_{yz} = \mu \varepsilon_{yz} \quad (1.1)$$

где  $\mu$  — модуль упругого сдвига; величина  $\tau_{xz}$  и  $\tau_{yz}$  удовлетворяют единственному уравнению равновесия (в проекции на ось  $z$ ):

$$\partial \tau_{xz} / \partial x + \partial \tau_{yz} / \partial y = 0 \quad (1.2)$$

где массовые силы отсутствуют. В этой задаче  $W(x, y)$  — гармоническая функция и в качестве решения упругой задачи для полуплоскости  $y > 0$  с разрезом по вещественной оси  $x \leq a$  предлагается известное решение

$$W(x, y) = A \sqrt{r} \sin(\theta/2) \quad (1.3)$$

$$r = \sqrt{(x-a)^2 + y^2}, \quad \theta = \arctg \frac{y}{x-a}, \quad 0 \leq \theta \leq \pi$$

где  $A$ ,  $a$  — произвольные постоянные. Это решение имеет известные недостатки. Гармоническая функция  $W(x, y)$  удовлетворяет смешанным граничным условиям при  $y=0$ : при  $x \geq a$  смещение  $W(x, y)$  непрерывно и равно нулю, при  $x \leq a$  напряжение  $\tau_{yz} = 0$ . В этих условиях напряжения и деформации имеют известные корневые особенности:

$$\tau_{xz} = \mu \varepsilon_{xz} = -\frac{A\mu}{2\sqrt{r}} \sin \frac{\theta}{2}, \quad \tau_{yz} = \mu \varepsilon_{yz} = \frac{A\mu}{2\sqrt{r}} \cos \frac{\theta}{2} \quad (1.4)$$

а перемещение  $W(x, y)$  описывает параболическую форму раскрытия разреза с вершиной в точке  $(a, 0)$ .

Кроме того, в задаче обычно не рассматриваются, но это важно отметить, что отличны от нуля две компоненты вектора поворота:

$$2\omega_x = \partial W / \partial y = \varepsilon_{yz}, \quad 2\omega_y = -\partial W / \partial x = -\varepsilon_{xz}$$

при этом в силу условий задачи (разрез проведен по оси  $x$ ,  $x \leq a$ ) поворот  $\omega_y$  имеет особый смысл: в упругой задаче  $\omega_y$  обращается в бесконечность вместе с  $\varepsilon_{xz}$  в особой точке ( $x = a$ ,  $y = 0$ ), что противоречит гипотезам, положенным в основу линейной модели упругости.

Известно [2, 3], что величина максимального касательного напряжения

$$T = \sqrt{\tau_{xz}^2 + \tau_{yz}^2} \quad (1.5)$$

остаётся постоянной на окружностях  $r = \text{const}$ . В частности, при  $r = a$  имеем соотношение

$$T = A\mu / (2\sqrt{a}) = T_e = \text{const} \quad (1.6)$$

связывающее произвольные постоянные  $A$  и  $a$ ; разрыв перемещения при  $x = 0$ ,  $y = 0$ :

$$[W] = W_+ - W_- = 2A\sqrt{a} \quad (1.7)$$

Для описания поведения упругой среды перед разрушением укажем площадки максимального касательного напряжения и главного сдвига, которые в упругом состоянии среды совпадают. Главные значения нормальных напряжений

$$\sigma_1 = T, \quad \sigma_2 = 0, \quad \sigma_3 = -T \quad (1.8)$$

определяют состояние чистого кручения с площадкой  $\tau_{\text{max}} = 1/2(\sigma_1 - \sigma_3) = T$ , проходящей через второе главное направление, а первое главное направление образует угол  $\varphi(x, y)$  с осью  $x$  (фиг. 1):

$$\tau_{xz} / \tau_{yz} = -\text{tg } \varphi \quad (1.9)$$

Площадка главного сдвига проходит через то же второе главное направление, а первое главное направление тензора деформаций образует угол  $\psi$  с осью  $x$ :

$$\varepsilon_{xz} / \varepsilon_{yz} = -\text{tg } \psi \quad (1.10)$$

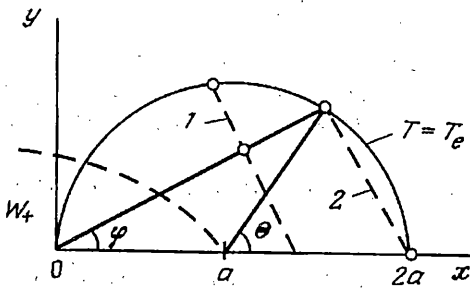
Естественно для антиплоской деформации отсутствие изменений объема

$$\varepsilon_1 + \varepsilon_2 + \varepsilon_3 = 0, \quad \varepsilon_1 = 1/2\Gamma, \quad \varepsilon_2 = 0, \quad \varepsilon_3 = -1/2\Gamma, \quad \Gamma = \sqrt{\varepsilon_{xz}^2 + \varepsilon_{yz}^2} \quad (1.11)$$

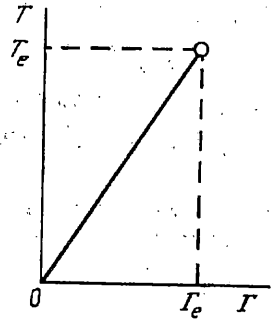
что отвечает состоянию чистого сдвига, и изменений первого инварианта тензора напряжений  $\sigma_1 + \sigma_2 + \sigma_3 = 0$ . Площадки действия  $\tau_{\text{max}}$  и  $\Gamma$  составляют угол  $\varphi = \pm 1/4\pi$  и  $\psi = \pm 1/4\pi$  с осью  $x$ .

2. При описании перехода из упругого состояния в разрушенное (разделение тела на части) основным для представления о хрупком разрушении является диаграмма связи инвариантов  $T$  и  $\Gamma$  (фиг. 2), которую представляют на плоскости в виде линейного графика (упругость) вплоть до точки  $(T_e, \Gamma_e)$ , в которой наступает разрушение; единственной упругой характеристикой для состояния чистого сдвига — кручения является модуль сдвига  $\mu$ .

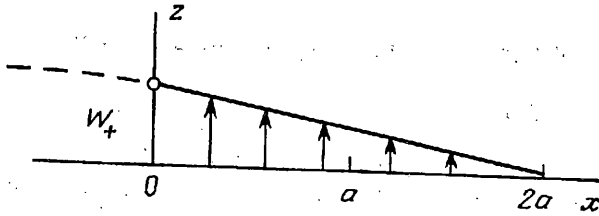
Введение предельного упругого сдвига  $\Gamma = \Gamma_e$  в качестве независимого и дополнительного критерия разрушения — перехода от упругого состояния в состояние разрушения — подсказано современными опытами на «жестких» машинах [3, 4]. В этих опытах обнаруживается весьма своеобразное поведение материала; продолжается рост деформаций (удлинений или углов сдвига) при уменьшении напряжений; в опытах проявляется масштабный эффект. Это поведение может отвечать новому состоянию материала, отличному от сплошного упругого: материал разделяется на блоки, которые скользят друг по другу и поворачиваются



Фиг. 1



Фиг. 2



Фиг. 3

вплоть до разделения образца на отдельные части, что называют разрушением [5—7].

В обсуждении разделим достижение состояния в точке  $(T_e, \Gamma_e)$  диаграммы на два этапа, что позволяет сделать статическая определенность задачи. Сначала рассмотрим достижение напряженным состоянием предельных значений максимального касательного напряжения  $T = T_e$ , что происходит на площадке максимального касательного напряжения. Рассматривая сразу решение задачи о существовании двух областей — упругой при  $r \geq a$  и области подготавливаемого разрушения  $r \leq a$ , находим, что существует единственное решение уравнения равновесия (1.2) при условии (1.6) в области  $r \leq a$ , в котором напряжения описываются при выполнении условий непрерывности на границе с упругой областью.

Это решение квазилинейного уравнения

$$\cos \varphi (\partial \varphi / \partial x) + \sin \varphi (\partial \varphi / \partial y) = 0 \quad (2.1)$$

следующего из (1.2) и (1.6) для напряжений

$$\tau_{xz} = -T_e \sin \varphi, \quad \tau_{yz} = T_e \cos \varphi \quad (2.2)$$

Уравнение (2.1) имеет известные характеристики

$$dy/dx = \operatorname{tg} \varphi \quad (2.3)$$

вдоль которых значение  $\varphi(x, y) = \text{const}$ , т. е. напряжения остаются постоянными вдоль лучей, проходящими, в частности, через начало координат  $(0, 0)$  и равными на границе соответствующему значению  $\varphi$  при  $r = a$  (фиг. 1):

$$\varphi|_{r=a} = \frac{1}{2} \theta|_{r=a} = \frac{1}{2} \left[ \operatorname{arctg} \frac{y}{x-a} \right]_{r=a}, \quad 0 \leq \varphi < \frac{\pi}{2} \quad (2.4)$$

Итак, первое условие разрушения  $T = T_e$  привело к краевой задаче для

напряжений, вполне идентичной для задачи идеальной пластичности (в напряжениях) при  $r \leq a$ .

Для напряжений можно указать приращения при переходе от одной характеристики к другой:

$$\Delta \tau_{xz} = -T_e \cos \varphi \Delta \varphi$$

$$\Delta \tau_{yz} = -T_e \sin \varphi \Delta \varphi, \quad \Delta \tau_{xz} / \Delta \tau_{yz} = \operatorname{ctg} \varphi \quad (2.5)$$

т. е. главные направления тензора напряжений и тензора приращений ортогональны.

Таким образом, из (2.1) и (2.4) следует, что напряжение при  $r \leq a$ ,  $y \geq 0$  описывается веером прямолинейных характеристик (и симметричным веером при  $y < 0$ ), проходящими через начало координат (особая точка) и имеющими наклон  $\varphi = \theta_0/2$ . В отличие от упругого решения на оси  $y=0$  при  $r \leq 0$  компоненты напряжения  $\tau_{xz} = 0$ , а  $\tau_{yz} = T_e$  (вместо  $\tau_{yz} = 0!$ ) вплоть до особой точки, т. е. при замене упругого решения при  $r \leq a$  решением (2.2), разреза на этом участке нет.

В точках зоны направления площадок максимального касательного напряжения сохраняют свои значения, достигнутые со стороны упругой области при  $r = a$ , а вдоль характеристики (2.14) при  $\varphi = \operatorname{const}$  «переносится» соответствующее значение напряжения. Естественно, что напряженное состояние в силу совпадения уравнений и краевых условий задачи не отличается от такового для идеально пластического тела при  $r \leq a$ , при этом внешний параметр задачи (параметр нагружения  $A$ ) и параметр  $a$  связаны условием (1.6);  $T_e$  и  $\mu$  отражают свойства материала.

3. На следующем этапе построения решения необходимо рассмотреть второй критерий — достижение главным сдвигом значения

$$\Gamma = \sqrt{e_{xz}^2 + e_{yz}^2}, \quad \Gamma = \Gamma_e = \operatorname{const} \quad (3.1)$$

Этот критерий, вообще говоря, независимый, так как в точках области  $r \leq a$  нет связи между компонентами напряжений и деформаций; известно только то, что инварианты могут быть вычислены один через другой:  $T_e = \mu \Gamma_e$ . Со стороны упругой области, в точках границы  $r = a$  в силу соосности тензоров направления площадок максимального касательного напряжения и главного сдвига совпадают  $\varphi = \psi$ , а значение напряжений и деформаций связаны законом Гука (1.4).

Для изучения деформированного состояния при  $r \leq a$  ранее было выполнено исследование [8], в котором между упругим состоянием и состоянием с  $\Gamma = \Gamma_e$  вводилось переходное состояние идеально пластического течения, в котором напряженное и деформированное состояния имели одни и те же главные оси — соосность тензоров напряжений и деформаций. Это казалось естественным еще и потому, что в материале при переходе через границу  $r = a$  фиксировалось направление площадок максимального касательного напряжения, так что естественно было предположить, что сохраняются (и оказываются совпадающими) направления главных осей (совпадение площадок главного сдвига и максимального касательного напряжения). Важно при этом оценить совместность деформаций или определить связь с возможным возникновением трещин (разрывов перемещение), поэтому в [1, 8] в состоянии  $r \leq a$  исследовалось условие совместности деформаций как альтернативное условию соосности.

Рассмотрим уравнение (3.1), считая известными значение перемещений, деформаций и напряжений в упругой области  $r \geq a$ . Правила интегрирования нелинейных уравнений такого типа подробно рассмотрены в [9], что позволяет применить их к исследуемому объекту.

Уравнение (3.1) для неизвестной функции  $W(x, y)$ , которая определяет перемещение при  $r \leq a$ , допускает полный интеграл

$$W(x, y) = \alpha(x - x_0) + \beta(y - y_0) + \gamma \quad (3.2)$$

$$\alpha = \frac{\partial W}{\partial x} = \varepsilon_{xz}, \quad \beta = \frac{\partial W}{\partial y} = \varepsilon_{yz}, \quad \gamma(x_0, y_0) = W_0$$

где первые два параметра  $\alpha$  и  $\beta$  связаны между собой уравнением (3.1).

Общий интеграл (3.2) находится как огибающая развертывающихся поверхностей

$$\frac{\partial W}{\partial \alpha} = x - x_0 - \frac{\alpha}{\sqrt{\Gamma_e^2 - \alpha^2}}(y - y_0) = 0$$

откуда следует

$$\alpha = \frac{x - x_0}{[(x_0 - x)^2 + (y_0 - y)^2]^{1/2}} \quad (3.3)$$

$$W(x, y) = \Gamma_e [(x_0 - x)^2 + (y_0 - y)^2]^{1/2} + W_0(x_0, y_0)$$

Подчинение  $W(x, y)$  начальным условиям на окружности  $r = a$ :

$$x_0 = a + a \cos t, \quad y_0 = a \sin t \quad (3.4)$$

$$W_0 = 2a\Gamma_e \sin(t/2), \quad 0 \leq t \leq \pi$$

требует выполнения условия разрешимости [9]:

$$W'_0 = p_0 x'_0(t) + q_0 y'_0(t)$$

$$p_0 = (\partial W / \partial x)_{r=a}, \quad q_0 = (\partial W / \partial y)_{r=a} \quad (3.5)$$

где  $p_0$  и  $q_0$  также подчиняются (3.1). Из этих условий определяются при  $r = a$ :

$$p_0 = -\Gamma_e \sin \psi_1, \quad q_0 = \Gamma_e \cos \psi_1 \quad (3.6)$$

где  $\psi_1 = t/2$  в рассматриваемом промежутке изменения  $t$ . Последние выражения означают также непрерывность деформаций как следствие (3.1) и условия непрерывности перемещений на границе  $r = a$ .

Если всюду в области  $r \leq a$  деформации представить соотношениями (3.6), то условие их совместности

$$\partial \varepsilon_{xz} / \partial y = \partial \varepsilon_{yz} / \partial x$$

$$p = \varepsilon_{xz} = -\Gamma_e \sin \psi_1(x, y), \quad q = \varepsilon_{yz} = \Gamma_e \cos \psi_1(x, y) \quad (3.7)$$

приводит к уравнению

$$\sin \psi_1 \partial \psi_1 / \partial x - \cos \psi_1 \partial \psi_1 / \partial y = 0 \quad (3.8)$$

с характеристиками

$$\partial y / \partial x = -\operatorname{ctg} \psi_1, \quad \psi_1(x, y) = \operatorname{const} \quad (3.9)$$

ортогональными таковым для напряженного состояния (2.3). В этом непосредственно можно убедиться, сравнивая (2.1) и (3.8) при  $\psi = \varphi + \pi/2$ . На характеристиках (3.9) (штриховая линия 1 на фиг. 1) деформации остаются постоянными, так что для их определения в некоторой точке нужно перенести значение соответствующей деформации с окружности в данную точку по характеристике (3.9) (прямая 2 на фиг. 1 определяется соотношением  $[(x_0 - 2a)^2 + y_0^2]^{1/2}$ .

Аналогичное построение можно выполнить и при  $y < 0$ ,  $-\pi \leq t \leq 0$ , тогда

$$W(x, y) = -\Gamma_e [(x_0 - x)^2 + (y_0 - y)^2]^{1/2} + 2a\Gamma_e \sin(t/2) \quad (3.10)$$

Результаты (3.3) и (3.10) позволяют вычислить все перемещения и деформации при  $r \leq a$ .

Следует отметить, что при  $y=0$ ,  $0 \leq x \leq 2a$  перемещение разрывно и имеет равные, но противоположные по знаку значения, а величина «разрыва»

$$[W] = W_+ - W_- = 2\Gamma_e(2a - x) \quad (3.11)$$

достигает максимального значения в точке  $(x=0, y=0)$  и равна

$$[W]_* = 4a\Gamma_e \quad (3.12)$$

Следует также обратить внимание на тот факт, что тензоры напряжения и деформаций при  $r \leq a$  не являются соосными: в точках границы главные направления тензора деформаций поворачиваются так, чтобы деформации остались совместными. При этом приращения деформации  $\Delta\epsilon_{xz}$  и  $\Delta\epsilon_{yz}$ , точнее их изменения при повороте площадки скольжения, и деформации  $\epsilon_{xz}$ ,  $\epsilon_{yz}$  имеют взаимно ортогональные главные направления

$$\Delta\epsilon_{xz} = -\cos\psi_1 \Delta\psi_1$$

$$\Delta\epsilon_{yz} = -\sin\psi_1 \Delta\psi_1, \quad \Delta\epsilon_{xz}/\Delta\epsilon_{yz} = \operatorname{ctg}\psi_1 \quad (3.13)$$

Совместность деформаций (3.7) позволяет не детализировать альтернативное исследование, как это сделано в [1, 8], хотя внимательное обсуждение этого пути еще предстоит сделать на задачах, более общих, чем антиплоская деформация [4, 10].

Далее сделаем два замечания. Первое относится к изучению перемещений и напряжений на участке  $0 \leq x \leq 2a$  оси  $y=0$ . На фиг. 3 указана форма, которую принимает «разрез» в области  $r \leq a$  с описанием возможности разрушения в области с параметрами  $T_e, \Gamma_e$ . На всем упомянутом отрезке напряжения  $\tau_{xz} = 0$ ,  $\tau_{yz} = T_e$ , перемещение имеет равные по величине, но противоположные значения со скачком

$$[W] = W_+ - W_- \quad (3.14)$$

который нарастает от нуля до предельного значения  $[W]_* = 4a\Gamma_e$  в точке  $(0, 0)$ . Можно определить это состояние в области  $r \leq a$  с нарастающим скачком перемещения и постоянством  $T_e$  как «хрупкий шарнир» — переход от упругого состояния к разделению тела на части — разрушению при критическом раскрытии трещины. При этом постоянство  $T_e$  можно интерпретировать как постоянство сил сцепления на участке  $0 \leq x \leq 2a$ , удерживающих берега вместе до раскрытия трещины при достижении скачка  $[W]_* = 4a\Gamma_e$  [6].

Можно представить себе работу хрупкого шарнира следующим образом. С ростом значения параметра «нагружения» (таким параметром является величина  $A^2$ , пропорциональная перемещению на некотором расстоянии от разреза) начинает расти  $a$  — радиус окружности, внутри которой инварианты напряженно-деформированного состояния достигли критических значений — это целая область  $r \leq a$  подготовки разрушения. С дальнейшим ростом  $A^2$  растет не только  $a$ , но и скачок перемещения в особой точке  $(0, 0)$ . Как только этот скачок достигнет критической величины  $[W]_* = 4a\Gamma_e$ , вершина разреза со скачком перемещения  $[W]_*$  может переместиться. Так что дополнительное задание к параметрам среды  $T_e$  и  $\Gamma_e$  кинематической величины — предельного раскрытия трещины (или размера

области  $a = 1/4[W_*]/\Gamma_e$ ) необходимо для характеристики процесса движения разреза.

Если после некоторого роста  $A^2$  программу нагружения задать так, чтобы  $A^2$  уменьшалось, то запасенная в области  $r \leq a$  упругая энергия будет возвращена, разрез не двигается с места. Это оправдывает термин «шарнир». Конечно, последующие исследования, включающие реологию и учет физико-химических процессов, позволяет оценить эффекты «заживления» подготавливаемых трещин; особенно это интересно в связи с изучением усталостных явлений.

Второе замечание связано с интерпретацией работы по созданию (открытию) трещины как поверхностной энергии. Хрупкий шарнир — это целая область, окружающая будущую трещину  $|y| \leq a$  и содержащая элементы с упругой энергией  $\sim T_e \Gamma_e / 2$  в единице объема. Часть этой энергии высвободится при продвижении разреза на длину  $L_0$  и израсходуется на создание новой поверхности (две поверхности)  $2L_0 T_e W_* = 2L_0 4a T_e \Gamma_e$ , где  $T_e W_*$  — поверхностная энергия (на единицу поверхности). Из этого выражения следует, что если даже вся упругая энергия в хрупком шарнире  $\sim 1/2 \rho a^2 T_e \Gamma_e$  перейдет в энергию разрушения, то и в этом случае ее не хватит на создание трещины длиной  $L_0 = 2a$ , так что часть энергии должна быть подведена из упругой области  $r > a$  к хрупкому шарниру и через него переведена на открытие трещины.

#### СПИСОК ЛИТЕРАТУРЫ

1. Шемякин Е. И. Напряженно-деформированное состояние в вершине разреза при антиплоской деформации горных пород // Физ.-техн. проблемы разраб. полез. ископаемых. 1973. № 1. С. 3—8.
2. Макслинтон Ф., Аргон А. Деформация и разрушение материалов. М.: Мир, 1970. 443 с.
3. Ревуженко А. Ф., Стажевский С. Б., Шемякин Е. И. О деформировании сыпучих материалов при больших сдвигах // ФТПРПИ. 1974. № 3. С. 130—133.
4. Ревуженко А. Ф., Шемякин Е. И. Плоская деформация упрочняющегося и разрушающегося материала // ПСТФ. 1977. № 3. С. 156—174.
5. Костров Б. В., Никитин Л. В. Применение методов теории разрушения к изучению очагов землетрясений // Физические основания поисков методом прогноза землетрясений. М.: Наука, 1970. С. 9—27.
6. Леонов М. Я., Панасюк В. В. Развитие найдрібніших тріщин в твердому тілі // Прикл. механіка. 1959. Т. 5. № 4. С. 391—401.
7. Слепян Л. И. Механика трещин. Л.: Судостроение, 1990. 296 с.
8. Шемякин Е. И. Напряженно-деформированное состояние в вершине разреза при антиплоской деформации упругопластических тел // ПМТФ. 1974. № 2. С. 110—116.
9. Смирнов В. И. Курс высшей математики. Т. 4. М.; Л.: Гостехиздат, 1951. 804 с.
10. Христианович С. А., Шемякин Е. И. О плоской деформации пластического материала при сложном нагружении // Изв. АН СССР. МТТ. 1969. № 5. С. 138—149.

Москва.

Поступила в редакцию  
10.X.1995